

การสังเคราะห์ไตรเมทิลอลิโพรเพนเอสเทอร์บนตัวเร่งปฏิกิริยาโลหะออกไซด์ผสม



นายสุรพจน์ เกตุคง

2269379310

วิทยานิพนธ์นี้เป็นส่วนหนึ่งของการศึกษาตามหลักสูตรปริญญาวิทยาศาสตรมหาบัณฑิต
สาขาวิชาปิโตรเคมีและวิทยาศาสตร์พอลิเมอร์
คณะวิทยาศาสตร์ จุฬาลงกรณ์มหาวิทยาลัย
ปีการศึกษา 2556
ลิขสิทธิ์ของจุฬาลงกรณ์มหาวิทยาลัย



5472141423

SYNTHESIS OF TRIMETHYLOLPROPANE ESTERS OVER MIXED METAL OXIDE
CATALYST

Mr. Surapoj Katekong



A Thesis Submitted in Partial Fulfillment of the Requirements
for the Degree of Master of Science Program in Petrochemistry and Polymer

Science

Faculty of Science

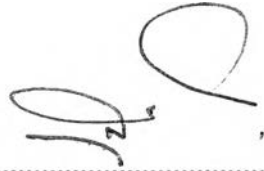
Chulalongkorn University

Academic Year 2013

Copyright of Chulalongkorn University

หัวข้อวิทยานิพนธ์	การสังเคราะห์ไตรเมทิลอลิโพรเพนเอสเทอร์บนตัวเร่ง ปฏิกิริยาโลหะออกไซด์ผสม
โดย	นายสุรพจน์ เกตุคง
สาขาวิชา	ปิโตรเคมีและวิทยาศาสตร์พอลิเมอร์
อาจารย์ที่ปรึกษาวิทยานิพนธ์หลัก	ผู้ช่วยศาสตราจารย์ ดร.ชวลิต งามจรัสศรีวิชัย

คณะวิทยาศาสตร์ จุฬาลงกรณ์มหาวิทยาลัย อนุมัติให้หัวข้อวิทยานิพนธ์ฉบับนี้เป็นส่วนหนึ่งของการศึกษาตามหลักสูตรปริญญาวิทยาศาสตรบัณฑิต



..... คณบดีคณะวิทยาศาสตร์

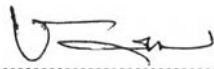
(ศาสตราจารย์ ดร.สุรพจน์ ทารหนองบัว)

คณะกรรมการสอบวิทยานิพนธ์



..... ประธานกรรมการ

(ศาสตราจารย์ ดร.ภัทรพรรณ ประศาสน์สารกิจ)



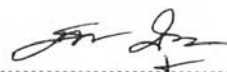
..... อาจารย์ที่ปรึกษาวิทยานิพนธ์หลัก

(ผู้ช่วยศาสตราจารย์ ดร.ชวลิต งามจรัสศรีวิชัย)



..... กรรมการ

(รองศาสตราจารย์ ดร.นวลพรรณ จันทศิริ)



..... กรรมการภายนอกมหาวิทยาลัย

(ดร.สุชาดา บุตรนาค)

สรุปงาน เกตุคง : การสังเคราะห์ไตรเมทิลอลโพรเพนเอสเทอร์บนตัวเร่งปฏิกิริยาโลหะ
ออกไซด์ผสม. (SYNTHESIS OF TRIMETHYLOLPROPANE ESTERS OVER MIXED
METAL OXIDE CATALYST) อ.ที่ปรึกษาวิทยานิพนธ์หลัก: ผศ. ดร.ชวลิต งามจรัสศรีวิชัย,
95 หน้า.

งานวิจัยนี้ศึกษาการเตรียมตัวเร่งปฏิกิริยาโพแทสเซียมฟลูออไรด์ (KF) บนตัวรองรับชนิด
แมกนีเซียม-อะลูมิเนียมเลเยอร์ดับเบิลไฮดรอกไซด์ที่ผ่านการเผาที่อุณหภูมิ 500 องศาเซลเซียส
(KF/HTC-500) เพื่อใช้สำหรับสังเคราะห์ไตรเมทิลอลโพรเพนเอสเทอร์ผ่านปฏิกิริยาทรานส์
เอสเทอร์ิฟิเคชัน สมบัติของตัวเร่งปฏิกิริยาถูกศึกษาด้วยเทคนิคต่างๆ ได้แก่ การเลี้ยวเบนรังสีเอกซ์
การสลายตัวทางความร้อน พูเรียร์ทรานส์ฟอร์มอินฟาเรดสเปกโทรสโกปี สแกนนิ่งอิเล็กตรอน
ไมโครสโกปี การวัดการดูดซับและการคายแก๊สไนโตรเจน การไตเตรทแบบแฮมเมทท์ (Hammett
titration) และการคายคาร์บอน ไดออกไซด์ตามอุณหภูมิที่โปรแกรม พบว่า KF/HTC-500 ที่ผ่านการ
เผาที่อุณหภูมิ 500 องศาเซลเซียส (KF/HTC-500(500)) แสดงสมบัติความเป็นเบสสูง เนื่องจาก
ปรากฏตำแหน่งเบส ได้แก่ ออกไซด์ผสมของ Mg-Al K₂O KMgF₂ O² และ F⁻ และมีพื้นที่ผิวจำเพาะ
และความพรุนสูง จากนั้นศึกษาภาวะในการสังเคราะห์ไตรเมทิลอลโพรเพนเอสเทอร์ พบว่า การใช้
ตัวเร่งปฏิกิริยาเอกพันธ์ทำให้เกิดปฏิกิริยาข้างเคียงที่ส่งผลทำให้เกิดสบู่อันขึ้นในผลิตภัณฑ์แต่การใช้
KF/HTC-500(500) ไม่ส่งผลทำให้เกิดสบู่อันขึ้นในผลิตภัณฑ์และภาวะที่เหมาะสมในการสังเคราะห์
C₈-C₁₀ ไตรเมทิลอลโพรเพนเอสเทอร์และ C₁₂-C₁₄ ไตรเมทิลอลโพรเพนเอสเทอร์ ในการใช้ KF/HTC-
500(500) เป็นตัวเร่งปฏิกิริยา คือ สัดส่วนโดยโมลของเมทิลเอสเทอร์ของกรดไขมันต่อไตรเมทิลอล
โพรเพนเท่ากับ 3.5:1, ปริมาณตัวเร่งปฏิกิริยา KF/HTC-500(500) เท่ากับ 5% โดยมวล, อุณหภูมิ
170 องศาเซลเซียส, เวลาในการทำปฏิกิริยา 8 ชั่วโมง และภายใต้บรรยากาศไนโตรเจน ให้การเปลี่ยน
เมทิลเอสเทอร์ของกรดไขมัน C₈-C₁₀ และเท่ากับ 99.9% โดยมวล และผลได้ของไตรเอสเทอร์เท่ากับ
81% โดยมวล ขณะที่การเปลี่ยนเมทิลเอสเทอร์ของกรดไขมัน C₁₂-C₁₄ เท่ากับ 99.9% โดยมวล และ
ผลได้ของไตรเอสเทอร์เท่ากับ 81% โดยมวล

01616562
2285379310

สาขาวิชา ปิโตรเคมีและวิทยาศาสตร์พอลิเมอร์
ปีการศึกษา 2556

ลายมือชื่อนิสิต ศ.สงวนใจ เลอฤๅ
ลายมือชื่อ อ.ที่ปรึกษาวิทยานิพนธ์หลัก [ลายมือ]

5472141423 : MAJOR PETROCHEMISTRY AND POLYMER SCIENCE

KEYWORDS: TRIMETHYLOLPROPANE ESTERS / MG-AL LAYER DOUBLE HYDROXIDE /
TRANESTERIFICATION

SURAPOJ KATEKONG: SYNTHESIS OF TRIMETHYLOLPROPANE ESTERS OVER
MIXED METAL OXIDE CATALYST. ADVISOR: ASST. PROF. CHAWALIT
NGAMCHARUSSRIVICHAI, Ph.D., 95 pp.

The present thesis studied the preparation of catalyst for synthesis of trimethylolpropane esters via tranesterification. The catalyst was prepared by doping KF on Mg-Al layer double hydroxide calcined at 500 °C as supported catalyst (KF/HTC-500). KF/HTC-500 was characterized by X-ray diffraction (XRD), thermogravimetric/ differential thermal analysis (TG/DTA), Fourier transform infrared spectroscopy (FTIR), scanning electron microscopy (SEM), Hammett titration method, N₂ adsorption-desorption measurement and temperature-programmed desorption of CO₂ (CO₂-TPD). The results showed that the KF/HTC-500 calcined at 500 °C (KF/HTC-500(500)) showed high basicity due to the presence of active sites such as Mg-Al mixed oxide, K₂O, KMgF₂, O²⁻ and F. Moreover, this catalyst showed high specific surface area and porosity. Unlike homogeneous catalysis, using KF/HTC-500(500) in the synthesis of trimethylolpropane did not produce soap in the product mixture. The suitable conditions for the synthesis of C₈-C₁₀ trimethylolpropane esters (C₈-C₁₀ TMP esters) and C₁₂-C₁₄ trimethylolpropane esters (C₁₂-C₁₄ TMP esters) using KF/HTC-500(500) were the molar ratio of FAME:TMP; 3.5:1, amount of catalyst; 5 wt.%, temperature; 170 °C, time; 8 hand under N₂ flow. These conditions gave the highest C₈-C₁₀ FAME conversion of 99.9 wt.% and triester yield of 81 wt.% while the highest C₁₂-C₁₄ FAME conversion of 99.9 wt.% and triester yield of 81 wt.%.

Field of Study: Petrochemistry and
Polymer Science

Academic Year: 2013

Student's Signature *Surapoj Katekong*

Advisor's Signature *Chawalit Ngamcharussrivichai*



กิตติกรรมประกาศ

ขอขอบพระคุณ ผู้ช่วยศาสตราจารย์ ดร. ชวลิต งามจรัสศรีวิชัย อาจารย์ที่ปรึกษาวิทยานิพนธ์ ที่ได้กรุณาสละเวลาให้คำปรึกษา คำแนะนำ ข้อคิดเห็นต่างๆรวมทั้งให้กำลังใจในการทำวิจัยมาโดยตลอดจนทำให้วิทยานิพนธ์ฉบับนี้สำเร็จลุล่วงไปได้ด้วยดี และขอขอบพระคุณคณาจารย์ คณะวิทยาศาสตร์ทุกท่าน ที่ให้คำแนะนำและข้อคิดเห็นต่างๆในการวิจัย รวมทั้งให้การอบรมสั่งสอนด้านวิชาการตลอดมา

กราบขอบพระคุณศาสตราจารย์ ดร.ภัทรพรณ ประศาสน์สารกิจ ประธานกรรมการสอบวิทยานิพนธ์ รองศาสตราจารย์ ดร. นवलพรณ จันทร์ศิริ และ ดร. สุชาดา บุตรนาค กรรมการสอบวิทยานิพนธ์ ที่กรุณารับเชิญเป็นกรรมการสอบ ตลอดจนให้คำแนะนำ ข้อเสนอแนะและความคิดเห็นที่เป็นประโยชน์ต่อการวิทยานิพนธ์อย่างยิ่ง

ขอขอบคุณบุคลากรคณะวิทยาศาสตร์ทุกท่านที่ได้กรุณาอำนวยความสะดวกในการใช้ห้องปฏิบัติการและช่วยเหลือในการใช้เครื่องมือวิเคราะห์ต่างๆ พี่ๆ เพื่อนๆ และน้องๆในภาควิชาเคมีเทคนิคที่ได้ให้คำปรึกษา ให้ความช่วยเหลือและเป็นกำลังใจในการทำวิทยานิพนธ์ให้สำเร็จลุล่วงไปได้ด้วยดี

สุดท้ายนี้ขอกราบขอบพระคุณบิดา มารดา รวมถึงผู้มีพระคุณทุกท่านที่สั่งสอน ให้คำแนะนำ และให้การสนับสนุนด้านต่างๆเสมอมาจนสำเร็จการศึกษา



สารบัญ

	หน้า
บทคัดย่อภาษาไทย.....	ง
บทคัดย่อภาษาอังกฤษ.....	จ
กิตติกรรมประกาศ.....	ฉ
สารบัญ.....	ช
สารบัญตาราง.....	1
สารบัญรูป.....	3
บทที่ 1 บทนำ.....	1
1.1 ความเป็นมาและความสำคัญของปัญหา.....	1
1.2 วัตถุประสงค์ของการวิจัย.....	3
1.3 ขอบเขตของการวิจัย.....	3
1.4 ประโยชน์ที่คาดว่าจะได้รับ.....	3
1.5 วิธีดำเนินการวิจัย.....	3
บทที่ 2 ทฤษฎีและงานวิจัยที่เกี่ยวข้อง.....	5
2.1 สารหล่อลื่น.....	5
2.2 สารหล่อลื่นสังเคราะห์.....	6
2.3 สารหล่อลื่นสังเคราะห์ประเภทเอสเทอร์.....	6
2.4 สมบัติทางกายภาพของสารหล่อลื่นสังเคราะห์ประเภทเอสเทอร์.....	7
2.5 การใช้งานสารหล่อลื่นสังเคราะห์ประเภทเอสเทอร์.....	10
2.6 สารหล่อลื่นสังเคราะห์ชนิดพอลิโออลเอสเทอร์.....	10
2.7 สมบัติทางกายภาพของพอลิโออลเอสเทอร์.....	11
2.8 การสังเคราะห์สารหล่อลื่นชนิดพอลิโออลเอสเทอร์.....	12
2.8.1 เอสเทอร์ฟิเคชัน (Esterification).....	12
2.8.2 ทรานส์เอสเทอร์ฟิเคชัน (Transesterification).....	13
2.9 หลักของเลอชาเตอลิเยร์สำหรับทรานส์เอสเทอร์ฟิเคชัน (Le chatelier's principle for transesterification).....	18
2.10 การเร่งทรานส์เอสเทอร์ฟิเคชันด้วยตัวเร่งปฏิกิริยาชนิดกรดและเบส.....	19
2.10.1 การเร่งทรานส์เอสเทอร์ฟิเคชันด้วยกรด.....	19



2.10.2 การเร่งทรานส์เอสเทอร์ฟิเคชันด้วยเบส	20
2.11 ประเภทของตัวเร่งปฏิกิริยาสำหรับทรานส์เอสเทอร์ฟิเคชัน	21
2.12 การเร่งปฏิกิริยาแบบวิวิธพันธุ์ (Heterogeneous catalysis)	23
2.13 เลเยอร์ดับเบิลไฮดรอกไซด์ (Layered double hydroxide, LDH).....	24
2.13.1 แมกนีเซียม-อะลูมิเนียมเลเยอร์ดับเบิลไฮดรอกไซด์ (Mg-Al layered double hydroxide, Mg-Al LDH).....	25
2.13.2 ประโยชน์ของเลเยอร์ดับเบิลไฮดรอกไซด์.....	27
2.14 เอกสารและงานวิจัยที่เกี่ยวข้อง	28
บทที่ 3 วิธีดำเนินการวิจัย	32
3.1 สารเคมีที่ใช้	32
3.1.1 สารเคมีในการสังเคราะห์ตัวเร่งปฏิกิริยา.....	32
3.1.2 สารเคมีที่ใช้ในปฏิกิริยาทรานส์เอสเทอร์ฟิเคชัน	32
3.1.3 สารเคมีในการวิเคราะห์สารตั้งต้นและผลิตภัณฑ์	32
3.2 ขั้นตอนการสังเคราะห์ตัวเร่งตัวเร่งปฏิกิริยาวิวิธพันธุ์.....	33
3.2.1 การสังเคราะห์แมกนีเซียม-อะลูมิเนียมเลเยอร์ดับเบิลไฮดรอกไซด์..	33
3.2.2 การเตรียมตัวเร่งปฏิกิริยา KF/HTC-500.....	33
3.2.3 การเตรียมรีไฮเดรต HTC-500 (rehydrated HTC-500).....	34
3.3 เครื่องมือและเทคนิคที่ใช้ในการวิเคราะห์สมบัติของตัวเร่งปฏิกิริยาวิวิธพันธุ์ HTC-as และ KF/HTC-500	34
3.4 การสังเคราะห์น้ำมันหล่อลื่นชนิดพอลิโออลเอสเทอร์ผ่านทรานส์เอสเทอร์ฟิเคชัน	39
3.5 การวิเคราะห์น้ำมันหล่อลื่นชนิดพอลิโออลเอสเทอร์ด้วยเทคนิคแก๊สโครมาโตกราฟี	40
บทที่ 4 ผลการทดลองและวิจารณ์ผลการทดลอง	44
4.1 สมบัติของตัวเร่งปฏิกิริยาวิวิธพันธุ์ HTC-as และ KF/HTC-500	44
4.1.1 ลักษณะทางกายภาพของตัวเร่งปฏิกิริยาที่เตรียมได้.....	44
4.1.2 โครงสร้างผลึก: X-ray diffraction (XRD).....	44
4.1.3 การสลายตัวทางความร้อน: Thermogravimetric/differential thermal analysis (TG/DTA)	47



2269379310

4.1.4 หมู่ฟังก์ชันบนพื้นผิว: Fourier transform infrared spectroscopy (FTIR).....	49
4.1.5 สัณฐานวิทยา: Scanning electron microscopy (SEM).....	50
4.1.6 ความเป็นเบส: Hammett titration	52
4.1.7 การคายคาร์บอนไดออกไซด์ตามอุณหภูมิที่โปรแกรม: Temperature-programmed desorption of CO ₂ (CO ₂ -TPD)	53
4.1.8 พื้นที่ผิวและความพรุน: N ₂ adsorption-desorption measurement	54
4.2 การสังเคราะห์น้ำมันหล่อลื่นชนิดไตรเมทิลอลโพรเพนเอสเทอร์โดยใช้ตัวเร่งปฏิกิริยาเอกพันธ์ชนิดเบสและตัวเร่งปฏิกิริยาวิวิธพันธ์ชนิดเบส	57
4.2.1 การเปรียบเทียบลักษณะผลิตภัณฑ์จากการใช้ตัวเร่งปฏิกิริยาเอกพันธ์ชนิดเบสและตัวเร่งปฏิกิริยาวิวิธพันธ์ชนิดเบส.....	57
4.2.2 ผลของชนิดตัวเร่งปฏิกิริยาต่อการสังเคราะห์ C ₈ -C ₁₀ ไตรเมทิลอลโพรเพนเอสเทอร์ (C ₈ -C ₁₀ TMP esters).....	59
4.3 การสังเคราะห์ C ₈ -C ₁₀ ไตรเมทิลอลโพรเพนเอสเทอร์โดยใช้ตัวเร่งปฏิกิริยา HTC-as และ KF/HTC-500 : ผลของอุณหภูมิในการเผาตัวเร่งปฏิกิริยา	59
4.4 ผลของภาวะในการทำทรานส์เอสเทอร์ฟิเคชันต่อการสังเคราะห์ ไตรเมทิลอลโพรเพน เอสเทอร์ด้วยตัวเร่งปฏิกิริยาชนิดต่างๆ	64
4.4.1 ผลของอุณหภูมิของปฏิกิริยาต่อการสังเคราะห์ C ₈ -C ₁₀ ไตรเมทิลอลโพรเพน เอสเทอร์.....	64
4.4.2 ผลของสัดส่วนโดยโมลของ FAME ต่อ TMP ต่อการสังเคราะห์ C ₈ -C ₁₀ ไตรเมทิลอลโพรเพนเอสเทอร์.....	67
4.4.3 ผลของปริมาณตัวเร่งปฏิกิริยาต่อการสังเคราะห์ C ₈ -C ₁₀ ไตรเมทิลอลโพรเพนเอสเทอร์.....	70
4.4.4 ผลของเวลาต่อการสังเคราะห์ C ₈ -C ₁₀ ไตรเมทิลอลโพรเพนเอสเทอร์.....	73
4.4.5 ผลของความดันต่อการสังเคราะห์ C ₈ -C ₁₀ ไตรเมทิลอลโพรเพนเอสเทอร์โดยใช้ตัวเร่งปฏิกิริยา KF/HTC-500(500).....	75
4.4.6 ผลของชนิดเมทิลเอสเทอร์ของกรดไขมัน (FAME) ต่อการสังเคราะห์ ไตรเมทิลอลโพรเพนเอสเทอร์	77
4.5 การใช้ซ้ำของตัวเร่งปฏิกิริยา KF/HTC-500(500).....	79



2269379310

ญ

หน้า

บทที่ 5 สรุปผลการทดลอง.....	82
รายการอ้างอิง.....	84
ภาคผนวก.....	85
ประวัติผู้เขียนวิทยานิพนธ์	94



สารบัญตาราง

	หน้า
ตารางที่ 2.1 สมบัติทางกายภาพของสารหล่อลื่นสังเคราะห์ประเภทเอสเทอร์	9
ตารางที่ 2.2 สมบัติทางกายภาพที่สำคัญบางประการของพอลิโออลเอสเทอร์	12
ตารางที่ 2.3 ชนิดของเอสเทอร์ที่เป็นองค์ประกอบในเมทิลเอสเทอร์ที่เตรียมจากทรานส์เอสเทอร์ฟิเคชันของไตรกลีเซอไรด์	16
ตารางที่ 2.4 เปรียบเทียบสมบัติตัวเร่งปฏิกิริยาเอกพันธ์และตัวเร่งปฏิกิริยาวิวิธพันธ์	22
ตารางที่ 2.5 ตัวอย่างสารประกอบเลเยอร์ดับเบิลไฮดรอกไซด์	25
ตารางที่ 2.6 ปฏิกิริยาที่ใช้เลเยอร์ดับเบิลไฮดรอกไซด์เป็นตัวเร่งปฏิกิริยา	28
ตารางที่ 2.7 องค์ประกอบของเมทิลเอสเทอร์ของกรดไขมันในน้ำมันมะกอก น้ำมันเมล็ดเรพ และไขมัน	29
ตารางที่ 2.8 เปรียบเทียบสมบัติทางกายภาพของนีโอเพนทิลเอสเทอร์และไตรเมทิลอลโพรเพนเอสเทอร์	29
ตารางที่ 3.1 ภาวะเครื่องแก๊สโครมาโตกราฟในการวิเคราะห์หาองค์ประกอบของพอลิโออลเอสเทอร์ (C ₈ -C ₁₀ ไตรเมทิลอลโพรเพนเอสเทอร์)	42
ตารางที่ 3.2 ภาวะเครื่องแก๊สโครมาโตกราฟในการวิเคราะห์หาองค์ประกอบของพอลิโออลเอสเทอร์ (C ₁₂ -C ₁₄ ไตรเมทิลอลโพรเพนเอสเทอร์)	43
ตารางที่ 4.1 ระยะห่างช่องว่างระหว่างชั้นที่เปลี่ยนแปลงภายหลังการอิมเพคชันด้วยโพแทสเซียมฟลูออไรด์	46
ตารางที่ 4.2 หมู่ฟังก์ชันของตัวเร่งปฏิกิริยา HTC-as และ KF/HTC-500 ที่วิเคราะห์โดยเทคนิค FTIR	49
ตารางที่ 4.3 ความแรงและปริมาณเบสของตัวเร่งปฏิกิริยาเลเยอร์ดับเบิลไฮดรอกไซด์ชนิดต่างๆ	52
ตารางที่ 4.4 พื้นที่ผิวจำเพาะและความพรุนของตัวเร่งปฏิกิริยาเลเยอร์ดับเบิลไฮดรอกไซด์ชนิดต่างๆ	56
ตารางที่ 4.5 ผลของชนิดตัวเร่งปฏิกิริยาต่อการสังเคราะห์ C ₈ -C ₁₀ ไตรเมทิลอลโพรเพนเอสเทอร์ ...	61
ตารางที่ 4.6 ผลของอุณหภูมิในการเผา HTC-as ต่อการสังเคราะห์ C ₈ -C ₁₀ ไตรเมทิลอลโพรเพนเอสเทอร์	62
ตารางที่ 4.7 ผลของอุณหภูมิในการเผา KF/HTC-500 ^c ต่อการสังเคราะห์ C ₈ -C ₁₀ ไตรเมทิลอลโพรเพนเอสเทอร์	63
ตารางที่ 4.8 ผลของอุณหภูมิของปฏิกิริยาต่อการสังเคราะห์ C ₈ -C ₁₀ ไตรเมทิลอลโพรเพนเอสเทอร์โดยใช้โซเดียมเมทอกไซด์เป็นตัวเร่งปฏิกิริยา	65



2269379310

ตารางที่ 4.9 ผลของอุณหภูมิของปฏิกิริยาต่อการสังเคราะห์ C ₈ -C ₁₀ ไตรเมทิลอลโพรเพนเอสเทอร์ โดยใช้แคลเซียมไฮดรอกไซด์เป็นตัวเร่งปฏิกิริยา.....	65
ตารางที่ 4.10 ผลของอุณหภูมิของปฏิกิริยาต่อการสังเคราะห์ C ₈ -C ₁₀ ไตรเมทิลอลโพรเพนเอสเทอร์ โดยใช้ KF/HTC-500(500) เป็นตัวเร่งปฏิกิริยา.....	66
ตารางที่ 4.11 ผลของสัดส่วนโดยโมลของ FAME ต่อ TMP ต่อการสังเคราะห์ C ₈ -C ₁₀ ไตรเมทิลอลโพรเพนเอสเทอร์โดยใช้โซเดียมเมทอกไซด์เป็นตัวเร่งปฏิกิริยา.....	68
ตารางที่ 4.12 ผลของสัดส่วนโดยโมลของ FAME ต่อ TMP ต่อการสังเคราะห์ C ₈ -C ₁₀ ไตรเมทิลอลโพรเพนเอสเทอร์โดยใช้แคลเซียมไฮดรอกไซด์เป็นตัวเร่งปฏิกิริยา.....	68
ตารางที่ 4.13 ผลของสัดส่วนโดยโมลของ FAME ต่อ TMP ต่อการสังเคราะห์ C ₈ -C ₁₀ ไตรเมทิลอลโพรเพนเอสเทอร์โดยใช้ KF/HTC-500(500) เป็นตัวเร่งปฏิกิริยา.....	69
ตารางที่ 4.14 ผลของปริมาณตัวเร่งปฏิกิริยาต่อการสังเคราะห์ C ₈ -C ₁₀ ไตรเมทิลอลโพรเพนเอสเทอร์โดยใช้โซเดียมเมทอกไซด์เป็นตัวเร่งปฏิกิริยา.....	71
ตารางที่ 4.15 ผลของปริมาณตัวเร่งปฏิกิริยาต่อการสังเคราะห์ C ₈ -C ₁₀ ไตรเมทิลอลโพรเพนเอสเทอร์โดยใช้แคลเซียมไฮดรอกไซด์เป็นตัวเร่งปฏิกิริยา.....	71
ตารางที่ 4.16 ผลของปริมาณตัวเร่งปฏิกิริยาต่อการสังเคราะห์ C ₈ -C ₁₀ ไตรเมทิลอลโพรเพนเอสเทอร์โดยใช้ KF/HTC-500(500) เป็นตัวเร่งปฏิกิริยา.....	72
ตารางที่ 4.17 ผลของความดันต่อการสังเคราะห์ C ₈ -C ₁₀ ไตรเมทิลอลโพรเพนเอสเทอร์โดยใช้ KF/HTC-500(500) เป็นตัวเร่งปฏิกิริยา.....	78
ตารางที่ 4.18 ผลของชนิดเมทิลเอสเทอร์ของกรดไขมันต่อการสังเคราะห์ไตรเมทิลอลโพรเพนเอสเทอร์โดยใช้ KF/HTC-500(500) เป็นตัวเร่งปฏิกิริยา.....	78
ตารางที่ 4.19 การใช้ซ้ำของตัวเร่งปฏิกิริยา KF/HTC-500(500) ^a ต่อการสังเคราะห์ C ₁₂ -C ₁₄ ไตรเมทิลอลโพรเพนเอสเทอร์.....	80
ตารางที่ ก1.1 องค์ประกอบของเมทิลเอสเทอร์ของกรดไขมัน C ₈ -C ₁₀ วิเคราะห์โดย GC.....	90
ตารางที่ ก1.2 ค่า retention time ขององค์ประกอบในผลิตภัณฑ์ C ₈ -C ₁₀ ไตรเมทิลอลโพรเพนเอสเทอร์.....	90
ตารางที่ ก1.3 องค์ประกอบของเมทิลเอสเทอร์ของกรดไขมัน C ₁₂ -C ₁₄ วิเคราะห์โดย GC.....	91
ตารางที่ ก1.4 ค่า retention time ขององค์ประกอบในผลิตภัณฑ์ C ₁₂ -C ₁₄ ไตรเมทิลอลโพรเพนเอสเทอร์.....	91



สารบัญรูป

หน้า

รูปที่ 1.1 การสังเคราะห์ไตรเมทิลอลิโพรเพนเอสเทอร์ผ่านทรานส์เอสเทอร์ฟิเคชันในภาวะเบส.....	2
รูปที่ 2.1 โครงสร้างทางเคมีของสารหล่อลื่นประเภทเอสเทอร์บางชนิด.....	7
รูปที่ 2.2 โครงสร้างทางเคมีของพอลิโออลเอสเทอร์แต่ละชนิด.....	11
รูปที่ 2.3 กลไกการสลายตัวทางความร้อน.....	11
รูปที่ 2.4 ตัวอย่างกระบวนการผลิตพอลิโออลเอสเทอร์ผ่านปฏิกิริยาเอสเทอร์ฟิเคชัน.....	13
รูปที่ 2.5 ตัวอย่างกระบวนการผลิตพอลิโออลเอสเทอร์ผ่านทรานส์เอสเทอร์ฟิเคชัน.....	14
รูปที่ 2.6 โครงสร้างทางเคมีทั่วไปของเมทิลเอสเทอร์ของกรดไขมัน.....	15
รูปที่ 2.7 ทรานส์เอสเทอร์ฟิเคชันระหว่างไตรกลีเซอไรด์กับเมทานอล.....	15
รูปที่ 2.8 ชนิดของพอลิโออล.....	17
รูปที่ 2.9 กลไกการเร่งทรานส์เอสเทอร์ฟิเคชันด้วยตัวเร่งปฏิกิริยาชนิดกรด.....	19
รูปที่ 2.10 กลไกการเร่งทรานส์เอสเทอร์ฟิเคชันด้วยตัวเร่งปฏิกิริยาชนิดเบส.....	20
รูปที่ 2.11 ขั้นตอนการเร่งปฏิกิริยาแบบวิวิธพันธุ์.....	24
รูปที่ 2.12 ลักษณะโครงสร้างของแมกนีเซียม-อะลูมิเนียมเลเยอร์ดับเบิลไฮดรอกไซด์, $Mg_6Al_2(OH)_{16}CO_3 \cdot 4H_2O$	25
รูปที่ 2.13 ชั้นโลหะแมกนีเซียมไฮดรอกไซด์หรือชั้นบรูไซต์.....	26
รูปที่ 2.14 โครงสร้างของ $MgAl$ LDH.....	26
รูปที่ 2.15 การคืนโครงสร้างของ $MgAl$ LDH (memory effect).....	27
รูปที่ 3.1 ขั้นตอนการสังเคราะห์ HTC-as.....	33
รูปที่ 3.2 ขั้นตอนการสังเคราะห์ KF/HTC-500.....	34
รูปที่ 3.3 เครื่อง XRD ยี่ห้อ Bruker รุ่น D8 Discover.....	35
รูปที่ 3.4 เครื่อง Perkin Elmer Pyris Diamond thermogravimetric and differential thermal analyzer ยี่ห้อ Perkin Elmer รุ่น Pyris Diamond.....	35
รูปที่ 3.5 เครื่อง Fourier transform infrared spectrometer ยี่ห้อ PerkinElmer รุ่น Spectrum One.....	36
รูปที่ 3.6 Scanning electron microscope (SEM) ยี่ห้อ JEOL รุ่น JSM-5410LV.....	37
รูปที่ 3.7 เครื่อง Surface area and porosity analyzer ยี่ห้อ Micromeritics รุ่น ASAP 2020.....	37
รูปที่ 3.8 เครื่อง Temperature-programmed desorption of CO_2 ยี่ห้อ Thermo Finnigan รุ่น 1100.....	38



2263379310

รูปที่ 3.9 การติดตั้งเครื่องปฏิกรณ์สำหรับสังเคราะห์น้ำมันหล่อลื่นชนิดพอลิโออลเอสเทอร์.....	39
รูปที่ 3.10 ขั้นตอนการสังเคราะห์น้ำมันหล่อลื่นชนิดพอลิโออลเอสเทอร์.....	40
รูปที่ 3.11 ส่วนประกอบอย่างคร่าวๆของเครื่องแก๊สโครมาโตกราฟ	41
รูปที่ 3.12 ขั้นตอนการเตรียมตัวอย่างสำหรับวิเคราะห์ด้วยเทคนิคแก๊สโครมาโตกราฟี.....	41
รูปที่ 3.13 ภาวะในการวิเคราะห์ C ₈ -C ₁₀ ไตรเมทิลอลโพรเพนเอสเทอร์ด้วยเครื่องแก๊สโครมาโตกราฟ	42
รูปที่ 3.14 ภาวะในการวิเคราะห์ C ₁₂ -C ₁₄ ไตรเมทิลอลโพรเพนเอสเทอร์ด้วยเครื่องแก๊สโครมาโตกราฟ.....	43
รูปที่ 4.1 ลักษณะทางกายภาพของตัวเร่งปฏิกิริยา (a) HTC-as และ (b) KF/HTC-500	44
รูปที่ 4.2 รูปแบบ XRD ของ HTC-as ที่ผ่านการเผาที่อุณหภูมิต่างๆ (สัญลักษณ์ : ● = Mg-Al LDH และ Δ = Mg-Al mixed oxide).....	45
รูปที่ 4.3 รูปแบบ XRD ของ KF/HTC-500 ที่ผ่านการเผาที่อุณหภูมิต่างๆ (สัญลักษณ์: ● = Mg-Al LDH, Δ = Mg-Al mixed oxide ★ = K ₂ O และ ◊ = KMgF ₃).....	46
รูปที่ 4.4 ระนาบผลึกของโครงสร้าง Mg-Al LDH.....	47
รูปที่ 4.5 รูปแบบการสลายตัวทางความร้อนของ (A) HTC-as และ (B) KF/HTC-500.....	48
รูปที่ 4.6 ภาพถ่าย SEM ของ (a) HTC-as, (b) HTC-500, (c) KF/HTC-500 และ (d) KF/HTC-500(500).....	51
รูปที่ 4.7 การเปลี่ยนวิภาคของ KF/HTC-500 ระหว่างการเผา (W แทน ตำแหน่งเบสอ่อน, M แทนตำแหน่งเบสปานกลาง และ S แทนตำแหน่งเบสแก่).....	53
รูปที่ 4.8 รูปแบบ CO ₂ -TPD ของ HTC-500, KF/HTC-500(500) และ KF/HTC-500(650).....	54
รูปที่ 4.9 ไอโซเทิร์มการดูดซับและการคายแก๊สไนโตรเจนของตัวเร่งปฏิกิริยาเลเยอร์ดับเบิลไฮดรอกไซด์ที่ผ่านการเผาที่อุณหภูมิต่างๆ (A) HTC-as และ (B) KF/HTC-500.....	55
รูปที่ 4.10 ผลิตภัณฑ์ที่ได้จากการสังเคราะห์ไตรเมทิลอลโพรเพนเอสเทอร์โดยใช้ (a) ตัวเร่งปฏิกิริยาเอกพันธ์ชนิดเบส และ (b) ตัวเร่งปฏิกิริยาวิวิธพันธ์ชนิดเบส.....	57
รูปที่ 4.11 ไตรเมทิลอลโพรเพนเอสเทอร์ที่ได้จากการใช้ตัวเร่งปฏิกิริยาเอกพันธ์ชนิดเบส (a) ก่อน และ (b) หลัง การสะเทินด้วยกรดแอสติกและการทำให้เป็นเนื้อเดียวกัน (homogenization).....	57
รูปที่ 4.12 โครมาโตแกรมของผลิตภัณฑ์ที่ได้จากการสังเคราะห์ไตรเมทิลอลโพรเพนเอสเทอร์โดยใช้ (a) ตัวเร่งปฏิกิริยาเอกพันธ์ชนิดเบส และ (b) ตัวเร่งปฏิกิริยาวิวิธพันธ์ชนิดเบส	58
รูปที่ 4.13 ปฏิกิริยาทรานส์เอสเทอร์ฟิเคชันของ TMP กับ FAME ในการสังเคราะห์ไตรเมทิลอลโพรเพนเอสเทอร์.....	67



รูปที่ 4.14 เปรียบเทียบลักษณะทางกายภาพของตัวเร่งปฏิกิริยาหลังใช้ (a) แคลเซียมไฮดรอกไซด์ และ (b) KF/HTC-500(500)	70
รูปที่ 4.15 การเปลี่ยนแปลงผลได้ของผลิตภัณฑ์ตามเวลาในปฏิกิริยาทรานส์เอสเทอร์ฟิเคชันโดยใช้ตัวเร่งปฏิกิริยาต่างชนิด (A) ตัวเร่งปฏิกิริยาโซเดียมเมทอกไซด์. Reaction condition: molar ratio of FAME:TMP, 3.5:1; temperature, 170 °C; catalyst amount, 1 wt.%; time, 8 h; under N ₂ flow และ (B) ตัวเร่งปฏิกิริยา KF/HTC-500(500). Reaction condition: molar ratio of FAME:TMP, 3.5:1; temperature, 170 °C; catalyst amount, 5 wt.%; time, 8 h; under N ₂ flow.....	74
รูปที่ 4.16 การเปลี่ยนแปลงผลได้ของผลิตภัณฑ์ตามเวลาในปฏิกิริยาทรานส์เอสเทอร์ฟิเคชันโดยใช้ตัวเร่งปฏิกิริยา KF/HTC-500(500) ที่ปฏิกิริยาที่ความดัน 500 มิลลิบาร์. Reaction condition: molar ratio of FAME:TMP, 3.5:1; temperature, 170 °C; catalyst amount, 5 wt.%; time, 8 h.	76
รูปที่ 4.17 ผลิตภัณฑ์ที่ได้จากการสังเคราะห์ C ₈ -C ₁₀ ไตรเมทิลอลโพรเพนเอสเทอร์โดยใช้ความดัน 500 มิลลิบาร์ ที่เวลาต่างๆ (a) 2 ชั่วโมง (b) 5 ชั่วโมง และ (c) 8 ชั่วโมง	76
รูปที่ 4.18 รูปแบบ XRD ของ KF/HTC-500(500), used KF/HTC-500(500) และ regenerated KF/HTC-500(500) (สัญลักษณ์ : ● = Mg-Al LDH, Δ = Mg-Al mixed oxide ★ = K ₂ O และ ◊ = KMgF ₃).....	81
รูปที่ 4.19 การสลายตัวทางความร้อนของ used KF/HTC-500(500)	81
รูป ก1.1 ตัวอย่างโครมาโทแกรมในการวิเคราะห์ผลิตภัณฑ์ (a) C ₈ ไตรเมทิลอลโพรเพนเอสเทอร์ (b) C ₁₀ ไตรเมทิลอลโพรเพนเอสเทอร์ และ (c) C ₈ -C ₁₀ ไตรเมทิลอลโพรเพนเอสเทอร์.....	89
รูป ก1.2 ตัวอย่างโครมาโทแกรมในการวิเคราะห์ผลิตภัณฑ์ C ₁₂ -C ₁₄ ไตรเมทิลอลโพรเพนเอสเทอร์	91
รูปที่ ข1.1 เส้นโค้งสอบเทียบของ (a) methyl hexanoate (C ₆ FAME), (b) methyl octanoate (C ₈ FAME) และ (c) methyl decanoate (C ₁₀ FAME).....	92
รูปที่ ข1.2 เส้นโค้งสอบเทียบของ (a) trimethylolpropane (TMP), (b) methyl dodecanoate (C ₁₂ FAME) และ (c) methyl tetradecanoate (C ₁₄ FAME).....	93

